

Некоторые математические вопросы теории передачи информации*

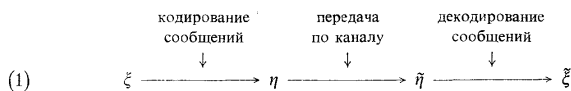
М. С. ПИНСКЕР

Этот доклад посвящен обзору вероятностных аспектов некоторых направлений теории передачи информации. В первой части обзора будут изложены отдельные результаты по обоснованию Шенноновской теории оптимального кодирования информации, носящие окончательный характер. Главное внимание уделяется проблеме построения конкретных простых способов кодирования и декодирования, поскольку основные усилия исследователей сосредоточены в настоящее время на разработке эффективных методов передачи информации. В ходе изложения сформулировано несколько актуальных, как нам кажется, проблем. Естественно, что содержание доклада тесно переплетается с работами автора.

1. ВВЕДЕНИЕ

Полное и математически четкое изложение центральных результатов теории оптимального кодирования информации весьма громоздко [3, 4]. Поэтому для того, чтобы не перегружать изложения мы в §§ 1 и 2 дадим лишь беглый обзор основных понятий и результатов (см. [3]) теории. Существо интересующих нас результатов мы будем пояснять на отдельных примерах, представляющих, однако, весьма общие ситуации передачи информации. Перенесение полученных результатов на более общие случаи не представит труда для читателя — математика.

Шенноновская модель системы передачи информации исходит из следующей схемы:



Здесь ξ — сообщение, генерируемое источником, есть случайная величина, при-

* Доклад, прочитанный на Летних семинаре по теории информации и статистическим методам автоматического управления, г. Прага 25 мая — 4 июня 1965 г.

нимающая значения x в пространстве X . Значениями сообщения ξ являются обычно реализациями случайного процесса $\xi(t)$ на некотором временном полуинтервале; этими реализациями могут быть, например, последовательности чисел $x = (x_1 \dots x_n)$; функции непрерывного аргумента $x = \{x(t); 0 < t \leq T\}$; функции нескольких аргументов (кадры телевизионного изображения) и т.п. Переход $\xi \rightarrow \eta$ есть кодирование (преобразование) сообщения ξ в сигнал η на входе канала, принимающий значения y в пространстве Y . Значениями сигнала η могут быть также последовательности чисел, функции непрерывного аргумента и т.п. Переход $\eta \rightarrow \tilde{\eta}$ есть передача сигнала по каналу, на выходе которого образуется сигнал $\tilde{\eta}$, принимающий значения \tilde{y} в пространстве \tilde{Y} . Переход от входного сигнала η к выходному сигналу $\tilde{\eta}$ подчиняется условному распределению вероятностей

$$(2) \quad P_{\tilde{y}|\eta}(\tilde{B} | y) = P_{\tilde{\eta}|\eta}(\tilde{B} | y) = P\{\tilde{\eta} \in \tilde{B} | \eta = y\}, \quad \tilde{B} \subset \tilde{Y}$$

(вероятность того, что значения сигнала на выходе $\tilde{\eta}$ принадлежат множеству \tilde{B} при условии, что сигнал на входе η принял значение y). Это условное распределение характеризует канал и описывает вероятности искажений (шума), возникающих в канале. Весьма часто сигнал на выходе $\tilde{\eta}$ представляется, в определенном смысле, как сумма сигнала η и шума ζ

$$(2a) \quad \tilde{\eta} = \eta + \zeta.$$

Переход $\tilde{\eta} \rightarrow \tilde{\xi}$ есть декодирование (преобразование) выходного сигнала $\tilde{\eta}$ в воспроизводимое сообщение $\tilde{\xi}$, принимающего значения в пространстве \tilde{X} . Кодирование $\xi \rightarrow \eta$ и декодирование $\tilde{\eta} \rightarrow \tilde{\xi}$ определяются условными распределениями вероятностей

$$(3) \quad P_{\eta|\xi}(B | x) = P\{\eta \in B | \xi = x\}, \quad B \subset Y,$$

$$(4) \quad P_{\tilde{\xi}|\tilde{\eta}}(\tilde{A} | \tilde{y}) = P\{\tilde{\xi} \in \tilde{A} | \tilde{\eta} = \tilde{y}\}, \quad \tilde{A} \subset \tilde{X}.$$

В большинстве работ рассматриваются лишь так называемое нерандомизированное кодирование и декодирование, когда условные распределения (3) и (4) сосредоточены в одной точке. В этом случае кодирование и декодирование задаются однозначными функциями

$$(5) \quad \eta = f(\xi), \quad \tilde{\xi} = \varphi(\tilde{\eta}).$$

В дальнейшем задание правил кодирования и декодирования сообщений и сигналов мы будем отождествлять с заданием условных распределений (3) и (4) или функций (5). Пространства X и \tilde{X} , Y и \tilde{Y} могут не совпадать. Воспроизводимое сообщение должно удовлетворять условиям верности, задаваемым получателем. Условие верности обычно сводится к ограничениям на совместные распределения вероятностей $P_{\xi\tilde{\xi}}$ сообщения на выходе источника информа-

нии ξ и воспроизводимого сообщения $\tilde{\xi}$

$$(6) \quad P_{\xi\tilde{\xi}} \in W,$$

где W — некоторое множество совместных распределений пар $(\xi, \tilde{\xi})$. Так как распределение P_{ξ} — фиксировано, то, в случае существования условных распределений $P_{\tilde{\xi}|\xi}$, задание множества W равносильно заданию некоторого множества условных распределений $P_{\tilde{\xi}|\xi}$.

Хорошо известными примерами условий верности воспроизведения являются

$$а) P(\xi \neq \tilde{\xi}) = 0 \quad (\text{условие полного воспроизведения});$$

$$(7) \quad б) P(\xi \neq \tilde{\xi}) \leq \varepsilon, \quad \varepsilon > 0;$$

$$(8) \quad в) E(\xi(t) - \tilde{\xi}(t))^2 \leq \varepsilon^2,$$

где $\xi(t)$ и $\tilde{\xi}(t)$ — одномерные случайные величины и E — знак математического ожидания.

Могут быть также наложены ограничения на распределения сигналов на входе канала η

$$(9) \quad P_{\eta} \in V,$$

где V — некоторое множество распределений. Например, в случае когда $\eta = \{\eta(t); 0 < t \leq T\}$, где $\eta(t)$ — одномерные случайные величины, это ограничение может иметь вид:

$$(10) \quad E\eta^2(t) \leq P_c$$

— ограничение на среднюю мощность сигнала.

Основная проблема передачи информации заключается в следующем. Пусть заданы P_{ξ} , $P_{\tilde{\xi}}$, W , V . Когда возможно задать правила кодирования и декодирования так, чтобы в предположении, что цепь случайных величин $\xi, \eta, \tilde{\xi}$ марковская и пара случайных величин $(\eta, \tilde{\eta})$ подчинена условиям (2) и (9), мы имеем $P_{\xi\tilde{\xi}} \in W$. Короче эта проблема будет формулироваться так: когда возможно построить передачу так, чтобы воспроизводимое сообщение удовлетворяло заданным критериям верности.

Решение этой проблемы формулируется как теоремы Шеннона. Некоторые ее аспекты будут рассмотрены в § 2. Последующие параграфы будут посвящены построению методов кодирования и декодирования в случае, когда передача возможна.

2. ТЕОРЕМЫ ШЕННОНА. СКОРОСТЬ СОЗДАНИЯ СООБЩЕНИЙ, ПРОПУСКНАЯ СПОСОБНОСТЬ КАНАЛА. ВЕРОЯТНОСТИ ОШИБОК

Основными величинами с помощью которых формулируются и доказываются теоремы Шеннона являются информации и информационная плотность.

Эти величины определяются следующим образом. Пусть ξ и η случайные величины, принимающие значения в пространствах X и Y , P_η , P_ξ и $P_{\xi\eta}$ — распределения вероятностей случайных величин η , ξ и пары случайных величин (ξ, η) . Логарифм плотности вероятности меры $P_{\xi\eta}$ по произведению вероятностных мер $P_\xi \cdot P_\eta$ (если плотность существует) называется *информационной плотностью* $i_{\xi\eta}$

$$i_{\xi\eta}(x, y) = \log \frac{P_{\xi\eta}(dx dy)}{P_\xi(dx) P_\eta(dy)}.$$

Математическое ожидание случайной величины $i_{\xi\eta}(\xi, \eta)$ называется *информацией*

$$(11) \quad I(\xi, \eta) = E i_{\xi\eta}(\xi, \eta) = \int_{X \times Y} i_{\xi\eta}(x, y) P_{\xi\eta}(dx dy).$$

Если информационная плотность не существует, то полагаем

$$(12) \quad I(\xi, \eta) = \infty.$$

Формулировки теорем Шеннона непосредственно выражаются через экстремальные значения информации: пропускной способности канала и скорости создания сообщений. Наибольшее значение (верхняя грань) информации $I(\eta, \tilde{\eta})$ пары случайных величин $(\eta, \tilde{\eta})$, подчиненных условному распределению вероятностей (2) и ограничению (9) называется *пропускной способностью канала*

$$(13) \quad C = \sup_{P_{\eta\tilde{\eta}} \in W} I(\eta, \tilde{\eta}).$$

Наименьшее значение (нижняя грань) информации пары случайных величин ξ и $\tilde{\xi}$, подчиненных условию $P_{\xi\tilde{\xi}} \in W$, называется *энтропией* $H_W(\xi)$ сообщения при верности воспроизведения W :

$$(14) \quad H_W(\xi) = \inf_{P_{\xi\tilde{\xi}} \in W} I(\xi, \tilde{\xi}).$$

(При условии полного воспроизведения $H_W(\xi) = I(\xi, \tilde{\xi}) = H(\xi)$ — энтропия случайной величины ξ .) Часто пространства X и \tilde{X} совпадают и условия верности воспроизведения выражаются через параметр ε , ограничивающий, в определенной метрике, расстояние воспроизводимых значений сообщений от сообщений, генерируемых источником. Примерами таких условий являются условия задаваемые соотношениями (7) и (8). В этих случаях вводятся обозначения $H_\varepsilon(\xi) = H_W(\xi)$ и $H_W(\xi)$ называется *ε -энтропией* сообщения ξ .

Так как при построении передачи сообщений по каналу последовательность $\xi, \eta, \tilde{\eta}, \tilde{\xi}$ образует цепь Маркова, то

$$I(\xi, \tilde{\xi}) \leq I(\eta, \tilde{\eta}).$$

Сравнивая это соотношение с (13) и (14) видим, что для возможности передачи необходимо, чтобы

$$(15) \quad H_W(\xi) \leq C.$$

Это утверждение носит название обратной теоремы Шеннона.

Утверждение прямой теоремы Шеннона о достаточных условиях для возможности передачи носит асимптотический характер. Обычно величины $H_W(\xi) = H_{WT}(\xi^T)$ и $C = C^T$ зависят от параметра T , являющегося временем генерирования сообщения источником и длительностью сигнала на входе и выходе канала. В этих случаях рассматриваются величины

$$(16) \quad \bar{C} = \liminf_{T \rightarrow \infty} \frac{1}{T} C^T$$

и

$$(17) \quad \bar{H} = \liminf_{T \rightarrow \infty} \frac{1}{T} H_{WT}(\xi^T).$$

\bar{C} — также называется пропускной способностью канала, \bar{H} — скоростью создания сообщений.

Прямая теорема Шеннона утверждает, что в весьма общих ситуациях при выполнении соотношения

$$(18) \quad \liminf_{T \rightarrow \infty} \frac{H_{WT}(\xi^T)}{C^T} < 1$$

возможно построение передачи.

Для справедливости этого утверждения по существу достаточно выполнения следующих условий: при любых $\delta_1, \delta_2 > 0$ можно построить пары случайных величин $(\xi^T, \tilde{\xi}^T)$ и $(\eta^T, \tilde{\eta}^T)$, удовлетворяющих соотношениям (2), (6) и (9), такие, что

$$(19) \quad \liminf_{T \rightarrow \infty} \frac{I(\xi^T, \tilde{\xi}^T)}{H_{WT}(\xi^T)} \leq 1 + \delta_1, \quad \liminf_{T \rightarrow \infty} \frac{I(\eta^T, \tilde{\eta}^T)}{C^T} \geq 1 - \delta_1,$$

$$(20) \quad \lim_{T \rightarrow \infty} P \left\{ \left| \frac{i_{\xi^T \tilde{\xi}^T}(\xi^T, \tilde{\xi}^T)}{I(\xi^T, \tilde{\xi}^T)} - 1 \right| < \delta_2 \right\} = 0,$$

$$(21) \quad \lim_{T \rightarrow \infty} P \left\{ \left| \frac{i_{\eta^T \tilde{\eta}^T}(\eta^T, \tilde{\eta}^T)}{I(\eta^T, \tilde{\eta}^T)} - 1 \right| < \delta_2 \right\} = 0,$$

Совокупности случайных величин $(\xi^T, \tilde{\xi}^T)$ и $(\eta^T, \tilde{\eta}^T)$, для которых выполнены соотношения (20) и (21), соответственно, называются *информационно устойчивыми*.

Как известно [3, 4] выполнение соотношений (19) и (20) приводит к тому, что при любом $\delta > 0$ для достаточно больших T существует $2^{H\eta^T(\xi^T)(1+\delta)}$ значений воспроизводимых сообщений, такие, что по ним с верностью W^T мы можем воспроизвести генерируемое источником сообщение, а выполнение условий (19) и (21) приводит к тому, что при достаточно большом T существует $2^{CT(1-\delta)}$ значений сигнала на входе канала, которые мы можем восстановить с как угодно малой вероятностью ошибки по значениям сигналов на выходе канала.

Более того, Шеннон [5] показал, что если M возможных значений входных сигналов образуются путем независимой выборки с распределением P_{η^T} , то при восстановлении входных сигналов по значениям выходных сигналов вероятность ошибки, усредненная по ансамблю таких выборок, удовлетворяет неравенству

$$(22) \quad P_{\text{ош}} \leq P\{i_{\eta^T \tilde{\eta}^T}(\eta^T, \tilde{\eta}^T) \geq \log M + \Theta\} + e^{-\Theta},$$

где $\Theta > 0$ — произвольное число.

Отсюда, в частности, видно, что если число сообщений меньше $2^{CT(1-\delta)}$, $\delta > 0$, $T \rightarrow \infty$ и выполнено (19) и (21), то мы можем передать сообщения при сколь угодно малой вероятности ошибки при воспроизведении.

Важно отметить, что в свою очередь, соотношения (19)–(21) имеют место при весьма слабых ограничениях на каналы и источники; этими ограничениями могут, например, являться эргодичность в определенном смысле источника и канала и конечность пределов \bar{C} и \bar{H} . Разнообразные предположения, при выполнении которых доказывается теорема Шеннона, обычно оказываются частными случаями такой эргодичности. Идея доказательства справедливости соотношений (19) и (21) хорошо иллюстрируется случаем, когда сигнал на выходе $\tilde{\eta}(t)$ представляется в виде сигнала на входе и независимого его стационарного шума $\zeta(t)$, т.е.

$$(23) \quad \tilde{\eta}(t) = \eta(t) + \zeta(t),$$

а ограничения на входной сигнал сводятся к некоторым ограничениям на распределения случайных величин $\eta(t)$ (например, среднее значение квадрата $\eta(t)$ не больше P_c , $E \eta^2(t) \leq P_c$). В этом случае для справедливости (19) и (21), а тем самым и теоремы Шеннона достаточно, чтобы шум $\zeta(t)$ был вполне эргодическим и

$$(24) \quad \bar{C} = \lim_{T \rightarrow \infty} \frac{1}{T} C^T < \infty.$$

Процесс $\zeta(t)$ называется *вполне эргодическим*, если при любом $T > 0$ эргодична двусторонняя последовательность случайных величин

$$\dots, \beta_{-1}, \beta_0, \beta_1, \beta_2, \dots, \beta_k, \dots,$$

где

$$\beta_k = \zeta_{kT}^{(k+1)T} = \{\zeta(t); kT < t \leq (k+1)T\}$$

(вполне эргодическим будет, например, процесс с перемешиванием). Для получения соотношений (19) и (21) надо рассмотреть случайный процесс $\eta(t)$ такой, что случайные величины

$$v_k = \eta_{kT}^{(k+1)T} = \{\eta(t); kT < t \leq (k+1)T\}, \quad k = 0, \pm 1, \pm 2, \dots$$

независимы, имеют одно и то же распределение вероятностей и

$$(25) \quad I(v_k, \tilde{v}_k) = I(\eta_{kT}^{(k+1)T}, \tilde{\eta}_{kT}^{(k+1)T}) > (\bar{C} - \delta)T,$$

где

$$\tilde{v}_k = \tilde{\eta}_{kT}^{(k+1)T} = \{\tilde{\eta}(t); kT < t \leq (k+1)T\}, \quad \tilde{\eta}(t) = \eta(t) + \zeta(t).$$

Как известно (см. [6]), совокупность пар (v_k, \tilde{v}_k) образует эргодический процесс и

$$(26) \quad \lim_{k \rightarrow \infty} P \left\{ \left| \frac{i_{\eta_0^{kT}, \tilde{\eta}_0^{kT}}(\eta_0^{kT}, \tilde{\eta}_0^{kT})}{I(\eta_0^{kT}, \tilde{\eta}_0^{kT})} - 1 \right| < \delta_2 \right\} = 0, \quad \delta_2 > 0.$$

Кроме того, используя независимость случайных величин v_k и проводя элементарные преобразования информации, имеем

$$(27) \quad I(\eta_0^{kT}, \tilde{\eta}_0^{kT}) \geq kI(\eta_0^T, \tilde{\eta}_0^T) > kT(\bar{C} - \delta).$$

Из (24), (26) и (27) очевидно вытекает (19) и (21).

Аналогично доказывается, что соотношения (19) и (20) справедливы для источников, генерирующих стационарный вполне эргодический процесс $\xi(t)$, для которого условия верности сводятся к ограничениям на распределения вероятностей пары случайных величин $(\xi(t), \tilde{\xi}(t))$

$$(28) \quad P_{\xi(t)\tilde{\xi}(t)} \in W_t = W,$$

(W_t не зависит от t), и при некотором $\tau > 0$

$$(29) \quad I(\xi_0^\tau, \tilde{\xi}_0^\tau) < \infty.$$

В этом случае строится процесс $\tilde{\xi}(t)$ такой, что при любом целом k случайные величины

$$\mu_k = \xi_{kT}^{(k+1)T}, \quad \tilde{\mu}_k = \tilde{\xi}_{kT}^{(k+1)T}, \quad \{\xi(t), \tilde{\xi}(t); -\infty < t \leq kT, (k+1)T < t < \infty\}$$

образуют цепь Маркова (т.е. при фиксированной реализации процесса $\xi(t)$ случайные величины $\dots, \xi_{-T}^0, \xi_0^T, \xi_T^{2T}, \dots$ становятся независимыми) и пары случайных величин $(\mu_k, \tilde{\mu}_k)$ $k = 0, \pm 1, \dots$ имеют одно и то же распределение

124 вероятностей. Отличие от канала здесь будет состоять лишь в том, что соотношение (27) заменяется на

$$(30) \quad I(\xi_0^{kT}, \xi_T^{kT}) \leq kT(\xi_0^T, \xi_T^T).$$

Из (29) и (30) вытекает, что существует предел

$$(31) \quad H = \lim_{T \rightarrow \infty} \frac{1}{T} H_{WT}(\xi^T) \leq \frac{1}{\tau} I(\xi_0^T, \xi_0^T) < \infty.$$

Сочетание соотношений (30) и (31) приводит к выражению аналогичному (27)

$$(32) \quad I(\xi_0^{kT}, \xi_0^{kT}) \leq kI(\xi_0^T, \xi_0^T) < kT(H + \delta).$$

Следует отметить, что само требование эргодичности или хотя бы стационарности для выполнения (20) и (21) не является необходимым. Так, например, для гауссовских источников и каналов для выполнения (20) и (21) необходимо и достаточно, чтобы

$$(33) \quad \lim_{T \rightarrow \infty} H_{WT}(\xi_0^T) = \infty, \quad \lim_{T \rightarrow \infty} C^T = \infty.$$

Как известно [1-3], канал называется гауссовским, если условное распределение $P_{\hat{y}|y} = P_{\eta|\eta}$ гауссовское, а ограничение на распределении сигналов η сводится к ограничениям на первые и вторые моменты. Например, для каналов вида (23), будут гауссовскими, если шум $\zeta(t)$ гауссовский процесс и ограничение на входной сигнал сводится к ограничению на среднюю мощность (10). Сообщение называется гауссовским, если случайная величина ξ — гауссовская, а ограничение на совместное распределение $P_{\xi\hat{\xi}} \in W$ сводится к ограничениям на первые и вторые моменты пар случайных величин $(\xi, \hat{\xi})$. Например, сообщение $\xi = \xi_0^T = \{\xi(t); 0 \leq t \leq T\}$ будет гауссовским, если порождающий его случайный процесс $\xi(t)$ гауссовский, а условия верности воспроизведения сводятся к (8) или к

$$(34) \quad E \int_{\tau}^{T+\tau} a(t) (\xi(t-\tau) - \hat{\xi}(t-\tau))^2 dt \leq \varepsilon^2, \quad -\infty < \tau < \infty,$$

где $a(t)$ — вещественная функция.

Указанные результаты для гауссовских источников и каналов вытекают из того, что для информационной устойчивости гауссовских пар случайных величин $(\alpha^T, \hat{\alpha}^T)$ необходимо и достаточно выполнения условия

$$(35) \quad \lim_{T \rightarrow \infty} I(\alpha^T, \hat{\alpha}^T) = \infty.$$

Неравенство (22) полезно не только для обоснования теоремы Шеннона, но и для получения весьма общих оценок вероятности ошибок. Проиллюстрируем

это на примере гауссовских каналов. Информационная плотность пары $(m+n)$ -мерных гауссовских случайных величин $(\alpha, \tilde{\alpha}) = (\alpha_1, \dots, \alpha_m, \tilde{\alpha}_1, \dots, \tilde{\alpha}_n)$ допускает представление

$$(36) \quad i_{\alpha\tilde{\alpha}}(\alpha, \tilde{\alpha}) = \sum_{j=1}^k (\beta_j^2 - \tilde{\beta}_j^2) \sqrt{\lambda_j} - \frac{1}{2} \sum_{j=1}^k \log(1 - \lambda_j),$$

где $0 \leq \lambda_j < 1$; $k \leq \min(m, n)$; $\beta_j, \tilde{\beta}_j, j = 1, \dots, k$ — независимые гауссовские случайные величины с нулевым средним и единичной дисперсией и

$$(37) \quad -\frac{1}{2} \sum_{i=1}^k \log(1 - \lambda_i) = I(\alpha, \tilde{\alpha}).$$

Выражение (36) может быть получено следующим образом. Как известно [2], после надлежащих невырожденных линейных преобразований случайных величин $\alpha_1, \dots, \alpha_m$ и $\tilde{\alpha}_1, \dots, \tilde{\alpha}_n$ полученные случайные величины $\alpha'_1, \dots, \alpha'_m$ и $\tilde{\alpha}'_1, \dots, \tilde{\alpha}'_n$ за исключением пар $(\alpha'_j, \tilde{\alpha}'_j)$ независимы, а тогда

$$(38) \quad i_{\alpha\tilde{\alpha}}(\alpha, \tilde{\alpha}) = i_{\alpha'\tilde{\alpha}'}(\alpha', \tilde{\alpha}') = \sum_{j=1}^k i_{\alpha'_j\tilde{\alpha}'_j}(\alpha'_j, \tilde{\alpha}'_j).$$

Но для гауссовской пары $(\alpha'_j, \tilde{\alpha}'_j)$ одномерных случайных величин, выражение для информационной плотности находится непосредственно

$$(39) \quad i_{\alpha'_j\tilde{\alpha}'_j}(\alpha'_j, \tilde{\alpha}'_j) = (\beta_j^2 - \tilde{\beta}_j^2) \sqrt{\lambda_j} - \frac{1}{2} \log(1 - \lambda_j) = (\beta_j^2 - \tilde{\beta}_j^2) \sqrt{\lambda_j} + I(\alpha'_j, \tilde{\alpha}'_j),$$

где $0 \leq \lambda_j < 1$ — коэффициенты корреляции случайных величин α'_j и $\tilde{\alpha}'_j$. Нетрудно показать, что λ_j при $\det N \neq 0$ суть корни уравнений

$$(40) \quad \det(\lambda Q - SN^{-1}S') = 0,$$

где $\begin{pmatrix} Q & S' \\ S & N \end{pmatrix}$, Q, N — матрицы ковариаций случайных величин $(\alpha, \tilde{\alpha})$, α и $\tilde{\alpha}$, соответственно.

Вообще для любой гауссовской пары $(\alpha, \tilde{\alpha})$ случайных величин (не обязательно конечномерных) имеют место две альтернативы:

1. вероятностная мера $P_{\alpha\tilde{\alpha}}$ сингулярна относительно произведения мер $P_\alpha \cdot P_{\tilde{\alpha}}$;
2. вероятностная мера $P_{\alpha\tilde{\alpha}}$ абсолютно непрерывна относительно меры $P_\alpha \cdot P_{\tilde{\alpha}}$ и информационная плотность выражается в виде (36) (где k может принимать как конечные так и бесконечные значения).

Сочетая (22) и (36) можно легко получить следующую оценку для оптималь-

ной вероятности ошибки для произвольного гауссовского канала

$$(41) \quad P_{\text{ош}} \leq \gamma e^{-(C - \log M)^2/4C},$$

где M — число значений сигналов, в которые кодируется передаваемое сообщение, γ — некоторое число, не зависящее от канала и от числа M . В частности, если $C = \overline{TC}$ и $\log M = \overline{RT}$, то формула (41) принимает вид

$$(42) \quad P_{\text{ош}} \leq \gamma e^{-T(C - \overline{R})^2/4C}.$$

Знание асимптотики распределения чисел λ_j позволяет, естественно, получить более сильные оценки для $P_{\text{ош}}$, чем (41).

В ряде случаев такую асимптотику нетрудно получить; например, пусть $(\alpha(t), \tilde{\alpha}(t))$ — двумерный гауссовский стационарный процесс дискретного аргумента;

$$A(\omega) = \begin{pmatrix} f_{\alpha\alpha}(\omega) & f_{\alpha\tilde{\alpha}}(\omega) \\ f_{\tilde{\alpha}\alpha}(\omega) & f_{\tilde{\alpha}\tilde{\alpha}}(\omega) \end{pmatrix}$$

матрица производных спектральных функций; тогда если

$$\int |\log f_{\alpha\alpha}(\omega)| d\omega < \infty$$

(т.е. процесс $\alpha(t)$ несингулярен), то в точках непрерывности функции

$$r^2(\omega) = \frac{|f_{\alpha\tilde{\alpha}}(\omega)|^2}{f_{\alpha\alpha}(\omega)f_{\tilde{\alpha}\tilde{\alpha}}(\omega)}$$

для пары случайных величин $(\alpha_0^T, \tilde{\alpha}_0^T)$

$$(43) \quad \chi(\lambda) = \frac{T}{2\pi} \mu(\omega : r^2(\omega) > \lambda) + O(T),$$

где $\chi(\lambda)$ — число λ_j больших λ , а $\mu(\omega : \cdot)$ — мера Лебега множества точек ω .

Этот результат может быть использован для оценки асимптотики вероятности ошибки для гауссовского канала со стационарным шумом вида (23), когда $\zeta(t)$ — стационарный гауссовский процесс.

Доказательство (43) проводится аналогично теоремам Сеге [21] об асимптотике собственных значений матриц Тейлора. На этом мы здесь останавливаться не будем.

3. КОДИРОВАНИЕ И ДЕКОДИРОВАНИЕ ДЛЯ ДИСКРЕТНЫХ СООБЩЕНИЙ КАНАЛОВ

Обсуждение проблемы кодирования и декодирования для дискретных систем связи мы проведем на примере двоичного симметричного канала без памяти

и сообщения образованного последовательностями двоичных символов 0,1, появляющихся независимо и с вероятностями $p(0) = p(1) = \frac{1}{2}$; критерием верности является вероятность неправильного воспроизведения информационных символов.

Ограничение рассмотрений таким примером вызвано только удобством и простотой изложения. Приведенные ниже факты легко переносятся на общий случай передачи информации.

Сигналы на входе и выходе двоичного симметричного канала без памяти образуются последовательностями двоичных символов 0, 1

$$\text{вход: } 1010\dots = y_1 y_2 y_3 y_4 \dots$$

$$\text{выход: } 0010\dots = \tilde{y}_1 \tilde{y}_2 \tilde{y}_3 \tilde{y}_4 \dots,$$

а условные вероятности для такого канала представляются в виде

$$(44) \quad p(\tilde{y}_1, \dots, \tilde{y}_n | y_1, \dots, y_n) = p(\tilde{y}_1 | y_1) \dots p(\tilde{y}_n | y_n),$$

$$p(1 | 1) = p(0 | 0) = q; \quad p(1 | 0) = p(0 | 1) = p = 1 - q,$$

p — вероятность ошибки.

Таким образом ошибки в канале возникают независимо и с вероятностью p . Сигнал на выходе $\tilde{y} = (\tilde{y}_1 \dots \tilde{y}_n)$ такого канала можно представить как покомпонентную сумму по mod 2 значения сигнала на входе $y = (y_1 \dots y_n)$ и независимого от него шума $z = (z_1 \dots z_n)$

$$\tilde{y}_i = y_i + z_i,$$

где символы z_1, \dots, z_n появляются независимо с вероятностями

$$p(z_i) = \begin{cases} q & \text{при } z_i = 0, \\ p & \text{при } z_i = 1. \end{cases}$$

Для этого канала

$$(45) \quad \bar{C} = 1 + p \log_2 p + q \log_2 q.$$

Задачу кодирования мы будем формулировать следующим образом: пусть в единицу времени по каналу передается один символ, а символы генерируемые источником поступают через равные промежутки времени $1/\bar{R} \geq 1$, так что в момент времени k будет известно $[k\bar{R}] + 1$ информационных символов. Кодирование задает закон, по которому по символам, генерированным источником, к k -му моменту времени строится k -ый символ y_k сигнала на входе канала. Математически это сводится к заданию функции

$$(46) \quad y_k = f_k(x_1, \dots, x_{[k\bar{R}] + 1}), \quad k = 1, 2, \dots$$

от $[k\bar{R}] + 1$ аргументов. После передачи по каналу последовательность $y_1 y_2 \dots$ переходит в последовательность $\tilde{y}_1 \tilde{y}_2 \dots$. Декодирование задает закон, по которому по выходной последовательности $\tilde{y}_1 \tilde{y}_2 \dots$ строится выходное сообщение. Математически это сводится к заданию функции

$$(47) \quad \tilde{x}_l = \varphi_l(\tilde{y}_1, \tilde{y}_2, \dots).$$

При этом говорят, что декодирование производится с равномерно ограниченной задержкой s , если время между поступлением l -го символа сообщения $l = [k\bar{R}] + 1$ и его декодированием, не более чем s , т.е.

$$(48) \quad \tilde{x}_l = \varphi_l(\tilde{y}_1, \dots, \tilde{y}_k, \dots, \tilde{y}_{k+s}).$$

Теорема Шеннона утверждает, что при $\bar{R} < \bar{C}$, существует кодирование и декодирование, такие, что с вероятностью $P = 1 - \bar{P}_{\text{ош}}$, сколь угодно близкой к единице, символ \tilde{x}_l совпадает с x_l .

Проблема заключается в построении простых функций f_k и φ_l , при этом желательно, чтобы с увеличением задержки s вероятность ошибки $\bar{P}_{\text{ош}}$ стремилась к нулю оптимальным или близким к оптимальному образом.

Открытие „групповых кодов“ (см. [11]) позволило весьма эффективно решать проблему кодирования. Поясним это на примере блочного кодирования. При блочном кодировании подлежащая передаче информационная последовательность двоичных символов $x_1 x_2 \dots$ разбивается на блоки длины $m = n\bar{R}$, а последовательность символов на входе канала на блоки длины n . Среди 2^n блоков-возможных значений сигналов длины n , выбираем 2^m различных блоков, в которые кодируем (сопоставляем) блоки информационной последовательности. Кодирование является групповым линейным, если информационная последовательность $x = (x_1 \dots x_m)$ образованная покомпонентным сложением по mod 2 двух других последовательностей

$$x^1 = (x_1^1 \dots x_m^1) \quad \text{и} \quad x^2 = (x_1^2 \dots x_m^2),$$

кодируется в блок на входе канала $y = (y_1 \dots y_n)$, являющимся покомпонентной суммой по mod 2 блоков на входе канала, соответствующих x^1 и x^2 . Известно, что в этом случае кодирование можно представить в виде произведения матрицы A на вектор — столбец x'

$$(49) \quad y' = Ax' = \begin{pmatrix} a_{11} & \dots & a_{1m} \\ \dots & \dots & \dots \\ a_{n1} & \dots & a_{nm} \end{pmatrix} \begin{pmatrix} x_1 \\ \vdots \\ x_m \end{pmatrix},$$

$$x' = \begin{pmatrix} x_1 \\ \vdots \\ x_m \end{pmatrix}, \quad y' = \begin{pmatrix} y_1 \\ \vdots \\ y_n \end{pmatrix},$$

где элементы a_{ij} матрицы A принимают значения 0 и 1: суммирование ведется по mod 2. Задержка при декодировании ограничена числом n . При этом если матрица A невырождена, то не меняя вероятности ошибки декодирования блока, мы можем матрицу A преобразовать к виду

$$a_{ij} = \begin{cases} 1 & \text{при } i = j; \\ 0 & \text{при } i \neq j; i, j \leq m. \end{cases}$$

В этом случае результат умножения Ax' представится в виде

$$(50) \quad y' = Ax' = \begin{pmatrix} x_1 \\ \vdots \\ x_m \\ \sum_{i=1}^m a_{(m+1)i} x_i \\ \vdots \end{pmatrix},$$

т.е. первые m символов кодового блока $y = (y_1 \dots y_n)$ совпадают с символами сообщения, а остальные являются их линейными комбинациями. Эти первые m символов называются информационными, а остальные проверочными. Кодирование, допускающее разделение кодовых символов на информационные и проверочные называются систематическим.

Заметим, что (при фиксированном $m/n = \bar{R}$) при случайной и независимой выборке элементов a_{ij} , $i > m$, с вероятностями $p(0) = p(1) = \frac{1}{2}$ вероятность неправильного декодирования кодовых блоков, осредненная по всему ансамблю матриц A , убывает по экспоненте с ростом n . Эта экспонента совпадает с экспонентой вероятности ошибки при случайном независимом выборе (с вероятностями $p(y_1, \dots, y_n) = 2^{-n}$) 2^m кодовых блоков из n символов.

Декодирование проводится по критерию максимума апостериорной вероятности.

Среди групповых кодов выделяют подклассы кодов столь же оптимальных с точки зрения вероятности ошибки, но обладающих еще большей простотой кодирования.

Нетрудно убедиться, что умножение Ax' требует числа арифметических операций, расгущего степенным образом с ростом n . Однако, оптимальное декодирование (по критерию минимума апостериорной вероятности) требует, вообще говоря, сравнения последовательности на выходе канала $\tilde{y}_1 \dots \tilde{y}_n$ со всеми возможными входными последовательностями. За переданную принимается та, которая отличается от принятой в наименьшем числе символов. Число всех возможных кодовых последовательностей $y_1 \dots y_n$ равно $2^n = 2^{Rn}$ и число сравнений экспоненциально растет с ростом n . При больших n такой перебор при декодировании становится практически невозможным.

Одной из наиболее интересных и перспективных процедур декодирования является метод последовательного декодирования, развитый Возенкрафтом и Райфеном [10]. Изложенная ими процедура позволила разработать такие методы группового кодирования для которых число операций при декодировании одного информационного символа растет не быстрее, чем степенным образом с ростом задержки s , а вероятность неправильного декодирования $P_{\text{ош}}$ экспоненциально убывает с ростом s . Под числом операций при декодировании мы будем в дальнейшем понимать среднее число сравнений последовательностей на выходе канала с кодовыми комбинациями на входе канала. Определенное таким образом число операций может быть выражено через среднее число арифметических операций, выполняемых при декодировании. Алгоритм декодирования, подробно разобранный в книге Возенкрафта и Райфена [10], требует все же экспоненциального роста числа операций с s , однако небольшое видоизменение этого алгоритма приводит к желаемому степенному росту. Результаты моделирования алгоритма, указанного в [10], оказались весьма благоприятными.

Следует заметить, что в публикациях, посвященных последовательному декодированию [10, 12–14] (а также другим методам декодирования [15]), такой рост числа операций с ростом s был получен для скоростей передачи \bar{R} меньших некоторого $R_{\text{выч}} < C$. Для дискретного канала без памяти значения этого порога $R_{\text{выч}}$, рассматриваемые в указанных работах, оцениваются сверху выражением

$$(51) \quad R_{\text{выч}} \leq \bar{R}_{\text{выч}} = \max_{p_i} \left\{ -\log \sum_j \left[\sum_i p_i \sqrt{p_{ji}} \right]^2 \right\},$$

где p_i – вероятности символов на входе канала, p_{ji} – вероятности перехода. Для двоичного симметричного канала формула (51) принимает вид

$$(52) \quad \bar{R}_{\text{выч}} = \bar{R}_{\text{выч}}(p) = -\log \frac{1}{2} (1 + 2 \sqrt{[p(1-p)]}).$$

Легко убедиться, что при $p \rightarrow \frac{1}{2}$ значения $\bar{R}_{\text{выч}}$ сходятся к $\frac{1}{2} \bar{C}$.

Мы покажем ниже, что для любых скоростей передачи \bar{R} , меньших пропускной способности \bar{C} , можно построить методы кодирования такие, что число операций при декодировании одного информационного символа будет меньше некоторой константы, не зависящей от вероятности ошибки $\varepsilon > 0$ (однако зависящей от скорости передачи \bar{R}).

Искомое кодирование будет образовано итерацией группового блочного кодирования и последовательного (сверточного) кодирования, а декодирование итерацией блочного и последовательного декодирования [10, 11, 17].

Для описания этой конструкции нам понадобятся некоторые сведения по последовательному декодированию Возенкрафта и итеративных кодах Элайеса.

Последовательное декодирование предполагает наличие некоторого специального вида кодирования — последовательного кодирования, при котором кодовые последовательности образуют так называемый древовидный код. Поясним построение этого кода, для случая, когда скорость передачи имеет вид $\bar{R} = 1/r$, где r — целое число. Каждой последовательности информационных символов $x_1 x_2 \dots x_m$ ставим в соответствие последовательность кодовых символов $y_1 y_2 \dots y_{mr}$ следующим образом. Разбиваем последовательность $y_1 y_2 \dots y_{mr}$ на „отрезки“ из r символов $y_1 \dots y_r; y_{r+1} \dots y_{2r}; y_{(m-1)r+1} \dots y_{mr}$. Значения кодовых символов из m -го отрезка $y_{(m-1)r+1} \dots y_{mr}$ определяются значениями m -информационных символов $x_1 \dots x_m$

$$(53) \quad y_{(m-1)r+i} = f_m(x_1, \dots, x_m), \quad i = 1, \dots, r,$$

т.е. из каждого информационного символа x_m „исходит“ r кодовых символов $y_{(m-1)r+1} \dots y_{mr}$.

Построение такого кода для случая $\bar{R} = \frac{1}{3}$, $m = 4$; $r = 3$; $n = rm = 12$ хорошо иллюстрируется на рис. 1. Здесь каждому информационному символу соответствует три кодовых. Кодовые последовательности служат как бы ветвями дерева; информационные символы в узлах указывают путь следования; ребро этого дерева соответствует трем кодовым символам, написанным сверху этого ребра. Например, информационной последовательности: 1011 соответствует кодовая последовательность: 111 011 101 101. Для такого кода характерно, что две информационные последовательности, имеющие одни и те же k начальных информационных символов имеют в соответствующих кодовых последовательностях kr общих начальных символов, а в кодовом дереве k общих начальных ребер.

Оптимальное декодирование (по критерию максимума апостериорной вероятности) с задержкой s производится аналогично блоковому декодированию. Для декодирования первого информационного символа x_1 полученная на выходе канала последовательность $\tilde{y}_1 \dots \tilde{y}_s$ сравнивается со всеми кодовыми последовательностями (ветвями кодового дерева) длины s . Если ближайшая ветвь (т.е. ветвь, отличающаяся от принятой в минимальном числе символов) соответствует информационной последовательности с первым символом \tilde{x}_1 , то мы принимаем, что \tilde{x}_1 — первый информационный символ; для декодирования второго информационного символа x_2 рассматриваем последовательность $\tilde{y}_{r+1} \dots \tilde{y}_{r+s}$ и сравниваем ее со всеми кодовыми последовательностями $\tilde{y}_{r+1} \dots \tilde{y}_{r+s}$ исходящими из узла соответствующему информационному символу \tilde{x}_1 , и т.д.

Имеет место следующая теорема:

Если значения функций $y_{(m-1)r+i} = f_m(x_1, \dots, x_m)$ получаются при независимой случайной выборке двух элементов 0 и 1 с вероятностями $p(0) = p(1) = \frac{1}{2}$, то

132 *вероятность неправильного декодирования символа (усредненная по ансамблю кодов) экспоненциально убывает с задержкой s и эта экспонента не больше экспоненты при случайном блоковом кодировании.*

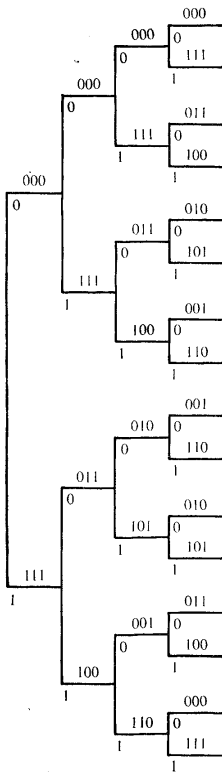


Рис. 1.

Экспонента не изменится, если функция f_{mi} будет зависеть лишь от $s/r + 1$ последних информационных символов $x_{m-s/r} \dots x_m$. Более того (с сохранением экспоненты вероятности ошибки не большей, чем при блоковом декодировании), кодовое дерево можно построить следующим образом (см. рис. 1). Рассматривается последовательность из s символов $u = u_1 u_2 \dots u_s$, называе-

мая генерирующей, такая, что $u_1 = 1; u_{rj+1} = 0; j = 1, \dots, s/r - 1$, остальные символы получаются путем независимого и случайного выбора 0 и 1 с вероятностями $p(0) = p(1) = \frac{1}{2}$. Далее полагаем

$$\mathfrak{D}^0 u = u; \mathfrak{D} u = \underbrace{0 \dots 0}_{r \text{ нулей}} u_1 \dots u_s; \dots; \mathfrak{D}^m u = \underbrace{0 \dots 0}_{mr \text{ нулей}} u_1 \dots u_s, \dots$$

т.е. знак \mathfrak{D} означает сдвиг вправо последовательности u на r символов. Символ $y_{(m-1)r+i}$, $i = 1, 2, \dots, r$ определяется как $(m-1)r + i$ -ый символ в сумме

$$(54) \quad \sum_{j=1}^m x_j \mathfrak{D}^{j-1} u \pmod{2}.$$

Здесь

$$x_j \mathfrak{D}^j u = \begin{cases} \mathfrak{D}^j u & \text{при } x_j = 1, \\ 0 & \text{при } x_j = 0. \end{cases}$$

Очевидно, что не более чем в s/r последних членах суммы значения $(m-1)r + i$ -го символа отлично от нуля. Построенный таким образом древовидный код будет систематическим и $y_{mr+1} = x_{m+1}$. Код, изображенный на рис. 1, получен именно таким образом с генерирующей последовательностью $u = 111\ 011\ 010\ 001$ и $r = 3$.

Древовидная структура кода позволяет построить пороговую процедуру декодирования, резко сокращающую число операций (перебор) при сохранении экспоненты вероятности неправильного декодирования. Мы ограничимся набросками одного из всевозможных подходов к таким процедурам (см. [10]).

На некоторой длине $s_1 < s$ принятая последовательность $\tilde{y}_1 \dots \tilde{y}_{s_1}$ сравнивается с возможными кодовыми последовательностями $y_1 \dots y_{s_1}$ и отбрасываются те кодовые последовательности, которые находятся от $\tilde{y}_1 \dots \tilde{y}_{s_1}$ на расстоянии Хемминга,* большем некоторого порога $p_1 s_1$, $0 < p < p_1 < \frac{1}{2}$. Далее оставшиеся кодовые последовательности рассматриваются на длине s_2 и из них выбрасываются те, которые находятся от принятой последовательности на расстоянии $p_2 s_2$, $0 < p < p_2 < \frac{1}{2}$ и т.д. Последнее сравнение производится на всей длине задержки s . Если на длине s останется непустое множество кодовых последовательностей, то за \tilde{x}_1 принимается информационный символ одной последовательности из этого множества. Если же такой кодовой последовательности не оказалось, то процедура повторяется с другими, более слабыми, порогами и т.д. Для декодирования второго информационного символа эту процедуру повторяем для выходной последовательности $\tilde{y}_{r+1} \dots \tilde{y}_{r+s}$, причем сравнения производятся только с теми кодовыми последовательностями, которые начинаются с символов $\tilde{y}_1 \dots \tilde{y}_r$, соответствующих первому информа-

* Расстояние Хемминга между двумя двоичными последовательностями — есть число символов, в которых эти последовательности отличны друг от друга.

ционному символу \bar{x}_1 . Декодирование третьего и т.д. информационного символов производится аналогичным образом.

Как указано в [14] существуют такие модификации последовательного декодирования, что для $\bar{R} < \bar{R}_{\text{выс}}(p)$ число операций при декодировании ограничено сверху числом, которое не зависит от задержки s при экспоненциальном убывании s с вероятности неправильного декодирования.

$y_{11} \dots y_{1m_1}$	$\dots y_{1n_1}$
$\dots \dots \dots$	$\dots \dots$
$y_{m_2 1} \dots y_{m_2 m_1}$	$\dots y_{m_2 n_1}$
$\dots \dots \dots$	$\dots \dots$
$y_{n_2 1} \dots y_{n_2 m_1}$	$\dots y_{n_2 n_1}$

Рис. 2.

информационные символы второго кода	проверочные символы первого кода
проверочные символы второго кода	кода

Рис. 3.

Остановимся теперь на кратном описании систематических итеративных кодах Элайса [11], составленных из двух кодов и являющихся как бы их произведением. Пусть мы имеем два блоковых систематических кода длин n_1 и n_2 с m_1 и m_2 информационными символами. Итеративный код, длины $n = n_1 n_2$ с $m_1 m_2$ информационными символами можно представить с помощью прямоугольной матрицы рис. 2 и рис. 3. Строки этой матрицы образуют кодовые последовательности длины n_1 первого кода, а столбцы — кодовые последовательности длины n_2 второго кода; первые m_1 элементов в строке являются информационными символами первого кода, а первые m_2 элементов столбца — информационными элементами второго кода; $m_1 m_2$ символов прямоугольной матрицы в левом верхнем углу являются информационными символами итеративного кода.

Очевидно, что скорость передачи итеративного кода равна

$$(55) \quad R = \frac{m}{n} = \frac{m_1 m_2}{n_1 n_2} = \frac{m_1}{n_1} \frac{m_2}{n_2} = R_1 R_2,$$

т.е. равна произведению скоростей передачи составляющих кодов.

Рис. 2 нам удобно представить схематическим рис. 3. Если второй код — дровидный (сверточный), в котором информационные символы перемежаются с проверочными, то вместо рис. 3 удобно пользоваться рис. 4.

информационные символы второго кода	проверочные символы первого кода
проверочные символы второго кода	
информационные символы второго кода	
проверочные символы второго кода	
.....	

Рис. 4.

Приступим теперь к описанию конструкции кодирования и декодирования обеспечивающей при любых $\bar{R} < \bar{C}$, ограниченность числа операций при декодировании независимо от вероятности неправильного декодирования ϵ .

Рассмотрим отношение

$$(56) \quad \frac{\bar{R}_{\text{выч}}(p)}{\bar{C}} = \frac{-\log \frac{1}{2}(1 + 2\sqrt{p(1-p)})}{1 + p \log_2 p + (1-p) \log_2 (1-p)}.$$

График зависимости этого отношения от p имеет вид, указанный на рис. 5.

Пусть задана скорость $\bar{R} < \bar{C}$. Выберем $\bar{R}_1 < \bar{C}$ и $\bar{R}_2 < 1$ так, чтобы $\bar{R}_1 \bar{R}_2 = \bar{R}$ и целое число n_1 столь большим, чтобы блоковый код длины n_1 с $m_1 = [n_1 \bar{R}_1] + 1$ информационными символами обеспечивал при декодировании вероятность ошибки, меньшую некоторого числа p' .

Далее выберем p' столь малым, чтобы для двоичного симметричного канала с переходной вероятностью ошибки p' скорость \bar{R}_2 была бы меньше $\bar{R}_{\text{выч}}(p')$.

В соответствии с рис. 4 построим итеративный код так, чтобы кодовые слова блокового кода, образованные строками матрицы рис. 4 содержали n_1 элементов, в которых $m_1 = [n_1 \bar{R}_1] + 1$ информационные и обеспечивали вероятность ошибки на символ меньшую p' ; а столбцы матрицы образовывались элемента-

ми древовидного кода со скоростью передачи \bar{R}_2 . Для построенного кода

$$(57) \quad \bar{R} = \lim_{n_2 \rightarrow \infty} \frac{m_1 m_2}{n_1 n_2} = \lim_{n_2 \rightarrow \infty} \frac{([n_1 \bar{R}_1] + 1) n_2 \bar{R}_2}{n_1 n_2} \geq \bar{R}_1 \bar{R}_2.$$

Декодирование осуществляется по этапам. Сначала исходя из блочного кода производится декодирование по строкам, так что информационные и проверочные символы второго кода с вероятностью $1 - p'$ восстанавливаются без

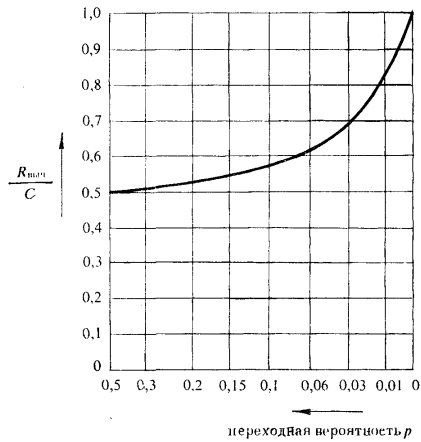


Рис. 5.

ошибки; при этом ошибки в разных символах одного столбца будут независимы. Далее исходя из второго — древовидного кода производится декодирование по столбцам; восстанавливаются информационные символы. Поскольку $\bar{R}_2 < \bar{R}_{выч}(p')$ то можно считать, что число операций N_2 при декодировании на втором этапе не зависит от ε . Первый этап (декодирование блочного кода) требует не более чем N_1 операций (N_1 — мощность блочного кода), не зависящем от ε .

Таким образом, общее число операций при декодировании на обоих этапах не зависит от ε и не превосходит $N \leq N_1 + N_2$.

Нетрудно вывести асимптотические оценки порядка дополнительного числа операций N_1 , вносимых блочным кодом при $\bar{R} \rightarrow \bar{C}$. Имеем при $\bar{R} \rightarrow \bar{C}$:

$$(58) \quad \begin{aligned} \bar{R}_2 &\rightarrow 1, \quad \bar{R}_1 \rightarrow \bar{C}; \\ \bar{R}_2 &\leq \bar{R}_{выч}(p') = -\log \frac{1}{2}(1 + 2\sqrt{p'(1-p')}) \approx 1 - 2\sqrt{p'}; \end{aligned}$$

$$\bar{C} > \bar{R}_1 = \frac{\bar{R}}{\bar{R}_2} \geq \frac{\bar{R}}{1 - 2\sqrt{p'}} \approx \bar{R}(1 + 2\sqrt{p'}).$$

Как известно [9], существуют блочные систематические коды, такие, что p' будет удовлетворять неравенству

$$(59) \quad p' \leq 2^{-m_1 \kappa (\bar{C} - \bar{R}_1)^2},$$

где $\kappa > 0$.

Отсюда

$$\log p' \leq -m_1 \kappa (\bar{C} - \bar{R}_1)^2$$

и следовательно, в соответствии с (58)

$$(60) \quad N_1 = 2^{m_1} \leq 2^{-\log p' / [\kappa (\bar{C} - \bar{R}_1)^2]} \approx 2^{-\log p' / [\kappa (\bar{C} - (\bar{R} + 2\sqrt{p'}))^2]}.$$

Положим $2\sqrt{p'} = \beta(\bar{C} - \bar{R})$, $0 < \beta < 1$. Из (60) получаем

$$(61) \quad N_1 \approx 2^{-\lceil \log p' / [\kappa (\bar{C} - \bar{R})^2] \rceil / [\kappa (1 - \beta)^2 (\bar{C} - \bar{R})^2]}.$$

Надо выбрать $0 < \beta < 1$ так, чтобы правая часть (61) была бы минимальной.

Проблема математически точного и полного определения сложности декодирования, а также получения точных оценок констант, выражающих сложность декодирования, требует дальнейших исследований.

До сих пор мы акцентировали свое внимание на вопросах сложности кодирования и декодирования на входе и выходе канала. Аналогичная проблема возникает в задаче (двойственной кодированию) квантования (кодирования) сообщений источника при критерии верности воспроизведения, отличном от полного воспроизведения. Рассмотрим эту проблему на примере сообщения $\xi = (\xi_1, \dots, \xi_n)$ образованного последовательностями независимых равновероятных двоичных символов $x = (x_1 \dots x_n)$ с совпадающими пространствами $X = \bar{X}$ (значений сообщения на выходе источника ξ и воспроизводимого сообщения $\bar{\xi}$). Критерий верности воспроизведения задается условием

$$(62) \quad \frac{1}{n} \sum_{i=1}^n P(\xi_i \neq \bar{\xi}_i) \leq \varepsilon.$$

Скорость создания сообщений (ε -энтропия) в этом случае равна

$$(63) \quad \bar{H}_\varepsilon = \min \frac{1}{n} J(\xi, \bar{\xi}) = 1 + \varepsilon \log \varepsilon + (1 - \varepsilon) \log (1 - \varepsilon),$$

где минимум берется по парам случайных величин $(\xi, \bar{\xi})$, удовлетворяющих (62).

Квантованием \mathfrak{M} объема K сообщения ξ назовем любое множество \mathfrak{M} последовательностей $\bar{x}^i = (\bar{x}_1^i \dots \bar{x}_n^i)$, $i = 1, \dots, K$. Кодированием (нерандо-

мизированным) с квантованием \mathfrak{M} называется отображение множества X (всех двоичных последовательностей), на множество \mathfrak{M} : кодирование задается функцией, определенной на множестве X и принимающей значения из множества \mathfrak{M}

$$(64) \quad \bar{x} = f(x); \quad x \in X, \quad \bar{x} \in \mathfrak{M}.$$

Задача кодирования может быть поставлена следующим образом: построить квантование \mathfrak{M} наименьшего объема (т.е. множество \mathfrak{M} с наименьшим числом точек) и функцию f таким образом, чтобы для пары случайных величин $(\xi, \bar{\xi})$, где $\bar{\xi} = f(\xi)$, было выполнено условие (62).

Имеет место следующая теорема. *Существует квантование объема $K = 2^{nH_\epsilon + O(\log n)}$, т.е.*

$$(65) \quad \log K = nH_\epsilon + O(\log n),$$

и кодирование, задаваемое (64), такие, что для пары $(\xi, \bar{\xi})$ выполнены условия верности воспроизведения (62). Множество \mathfrak{M} двоичных последовательностей $\bar{x} = (\bar{x}_1 \dots \bar{x}_n)$ можно выбрать так, чтобы оно образовало группу при покомпонентном сложении по mod 2. Обратно, по теореме Шеннона, не существует квантования объема $K < 2^{nH_\epsilon}$ удовлетворяющего (62).

При заданном \mathfrak{M} оптимальное кодирование (т.е. кодирование с минимальным значением $\sum_{i=1}^n P(\xi_i \neq \bar{\xi}_i)$) задается функцией

$$(66) \quad \bar{x} = f(x), \quad |\bar{x} - x| = \min_{\bar{x}' \in \mathfrak{M}} |\bar{x}' - x|,$$

где $|\bar{x} - x| = \sum_{i=1}^n |\bar{x}_i - x_i|$ — расстояние Хемминга между последовательностями \bar{x} и x , т.е. для того, чтобы закодировать последовательность $x = (x_1 \dots x_n) \in X$ надо сопоставить ей точку множества \mathfrak{M} , находящуюся от нее на минимальном расстоянии Хемминга. Кодирование может быть осуществлено путем сравнения x со всеми точками $\bar{x}' \in \mathfrak{M}$, и оставлением той точки \bar{x} , до которой расстояние минимальное. Так как число элементов множества \mathfrak{M} экспоненциально растет с ростом n , то при таком кодировании число операций (сравнений x с точками \bar{x} множества \mathfrak{M}) экспоненциально растет с n . Проблема построения простых методов кодирования сообщений остается открытой.

Интересно отметить, что в некоторых случаях канал как бы „согласован“ с сообщением и передача сообщений не требует специального квантования и кодирования на входе канала. Например, пусть условие верности воспроизведения задается условием (62), а канал двоичный симметричный с $p = \epsilon$. Посимвольная передача сообщения ξ по каналу, т.е. передача, при которой $y_i = x_i$, $\bar{y}_i = \bar{x}_i$, $i = 1, \dots, n$ обеспечивает выполнение условия (62). Отметим, что в этом

случае $\bar{H}_\varepsilon = \bar{C}$, так что никакой иной способ передачи, включающий кодирование и квантование, не может дать меньшего значения ε .

Некоторые подходы к такому согласованию будут обсуждены в следующем параграфе.

4. КОДИРОВАНИЯ И ДЕКОДИРОВАНИЯ ДЛЯ НЕПРЕРЫВНЫХ СООБЩЕНИЙ И СИГНАЛОВ

К настоящему времени определились некоторые эффективные подходы к решению проблемы передачи гауссовских сообщений по гауссовскому каналу.

В этом параграфе мы ограничимся рассмотрением проблемы кодирования и декодирования для следующей системы передачи информации. Будем считать, что источник генерирует гауссовский стационарный случайный процесс $\zeta(t)$ непрерывного аргумента со спектральной плотностью $f_{\zeta\zeta}(\omega)$, а верность воспроизведения задается среднеквадратичным критерием (8), где $\tilde{\zeta}(t)$ — значения воспроизводимых сообщений в момент времени t . Канал представляется в виде (23), где $\zeta(t)$ — гауссовский стационарный случайный процесс со спектральной плотностью $f_{\zeta\zeta}(\omega)$. Ограничения на входной сигнал $\eta(t)$ состоят в ограничении его средней мощности (10).

Передачу можно представить себе следующим образом: процесс (сообщение) $\zeta(t)$ кодируется в процесс (сигнал) на входе канала $\eta(t)$, в канале $\eta(t)$ подвергается действию гауссовского шума $\zeta(t)$ независимого от $\eta(t)$. На выходе канала мы получаем процесс (сигнал) $\tilde{\eta}(t) = \eta(t) + \zeta(t)$, который декодируется в процесс (сообщения) $\tilde{\zeta}(t)$. Среди методов кодирования и декодирования для непрерывных сообщений и каналов особое место занимают так называемые линейные методы; их теория проста и достаточно хорошо разработана. В рассматриваемом случае линейное кодирование и декодирование можно определить с помощью вещественных функций $A(\tau)$ и $B(\tau)$

$$(67) \quad \eta(t) = \int_{-\infty}^{\infty} A(\tau) \zeta(t - \tau) d\tau,$$

$$(68) \quad \tilde{\zeta}(t) = \int_{-\infty}^{\infty} B(\tau) \tilde{\eta}(t - \tau) d\tau,$$

или, переходя к спектральным представлениям,

$$(69) \quad \eta(t) = \int_{-\infty}^{\infty} e^{it\omega} \Phi_{\eta}(d\omega) = \int_{-\infty}^{\infty} e^{it\omega} a(\omega) \Phi_{\zeta}(d\omega),$$

$$(70) \quad \tilde{\zeta}(t) = \int_{-\infty}^{\infty} e^{it\omega} \Phi_{\tilde{\zeta}}(d\omega) = \int_{-\infty}^{\infty} e^{it\omega} b(\omega) \Phi_{\tilde{\eta}}(d\omega),$$

где $\Phi_{\alpha}(\omega)$ — спектральная случайная мера стационарного процесса $\alpha(t)$. Очевид-

но $(\xi(t), \eta(t), \tilde{\eta}(t), \tilde{\xi}(t))$ – многомерный стационарный гауссовский случайный процесс. Из соотношений (67)–(70) следует, что

$$(71) \quad 2 \int_0^{\infty} (f_{\xi\xi}(\omega) + f_{\tilde{\xi}\tilde{\xi}}(\omega) - 2 \operatorname{Re} f_{\xi\tilde{\xi}}(\omega)) d\omega \leq \varepsilon^2,$$

$$(72) \quad 2 \int_0^{\infty} f_{\eta\eta}(\omega) d\omega \leq P_c;$$

$$(73) \quad \begin{aligned} f_{\xi\eta}(\omega) &= a(\omega) f_{\xi\tilde{\xi}}(\omega), & f_{\eta\tilde{\eta}}(\omega) &= |a(\omega)|^2 f_{\tilde{\xi}\tilde{\xi}}(\omega), \\ f_{\tilde{\eta}\eta}(\omega) &= f_{\eta\eta}(\omega) + f_{\xi\xi}(\omega), \\ f_{\tilde{\xi}\tilde{\xi}}(\omega) &= b(\omega) f_{\tilde{\eta}\eta}(\omega), & f_{\tilde{\xi}\xi}(\omega) &= |b(\omega)|^2 f_{\tilde{\eta}\eta}(\omega). \end{aligned}$$

Задача оптимального линейного кодирования и декодирования заключается в подборе таких $a(\omega)$ и $b(\omega)$, которые минимизируют ε^2 в неравенстве (8). Как известно, при оптимальном линейном кодировании

$$(74) \quad |a(\omega)|^2 = \max \left(\frac{\lambda \sqrt{(f_{\xi\xi}(\omega) f_{\tilde{\xi}\tilde{\xi}}(\omega)) - f_{\xi\tilde{\xi}}(\omega)}}{f_{\tilde{\xi}\tilde{\xi}}(\omega)}, 0 \right),$$

$$(75) \quad b(\omega) = \frac{\overline{a(\omega)} f_{\xi\tilde{\xi}}(\omega)}{|a(\omega)|^2 f_{\tilde{\xi}\tilde{\xi}}(\omega) + f_{\xi\xi}(\omega)}$$

и наименьшее среднеквадратичное отклонение равно

$$(76) \quad \varepsilon^2 = 2 \int_0^{\infty} \min \left(\frac{1}{\lambda} \sqrt{(f_{\xi\xi}(\omega) f_{\tilde{\xi}\tilde{\xi}}(\omega))}, f_{\xi\tilde{\xi}}(\omega) \right) d\omega.$$

Постоянное λ в (74) и (76) в соответствии с условием (72) определяется из соотношения

$$(77) \quad 2 \int_0^{\infty} \max (\lambda \sqrt{(f_{\xi\xi}(\omega) f_{\tilde{\xi}\tilde{\xi}}(\omega)) - f_{\xi\tilde{\xi}}(\omega)}, 0) d\omega = P_c.$$

Если при оптимальном линейном кодировании и декодировании для ε^2 , определяемом из (77) выполнено условие

$$(78) \quad \bar{H}_\varepsilon = \bar{C},$$

то согласно обратной теореме Шеннона линейные методы будут наилучшими среди любых методов кодирования, то есть при оптимальном линейном методе кодирования значения среднеквадратичного отклонения ε^2 будут не больше, чем при любом другом методе кодирования. Методы кодирования, для которых выполнено (78), будем для краткости называть *оптимальными по Шеннону*.

Исходим из выражений для \bar{H}_ε и \bar{C}

$$(79) \quad \bar{H}_\varepsilon = \frac{1}{2\pi} \int_0^\infty \log \max \left(\frac{f_{\xi\xi}(\omega)}{\Theta^2}, 1 \right) d\omega,$$

$$(80) \quad \bar{C} = \frac{1}{2\pi} \int_0^\infty \log \max \left(\frac{\vartheta^2}{f_{\zeta\zeta}(\omega)}, 1 \right) d\omega,$$

где постоянные Θ^2 и ϑ^2 определяются из условий

$$(81) \quad 2 \int_0^\infty \min(\Theta^2, f_{\xi\xi}(\omega)) d\omega = \varepsilon^2,$$

$$(82) \quad 2 \int_0^\infty f_{\eta\eta}(\omega) d\omega = 2 \int_0^\infty \max(\vartheta^2 - f_{\zeta\zeta}(\omega), 0) d\omega = P_c.$$

Обозначим через Ω множество значений $\omega > 0$, в которых подинтегральное выражение в (77) отлично от нуля. Легко показать [19, 20], что для выполнения соотношения (78), при оптимальных линейных методах кодирования и декодирования необходимо и достаточно, чтобы

$$(83) \quad f_{\xi\xi}(\omega) f_{\zeta\zeta}(\omega) = \text{const},$$

$$f_{\zeta\zeta}(\omega) \leq f_{\zeta\zeta}(\omega'), \quad \omega \in \Omega, \quad \omega' \notin \Omega, \quad \omega, \omega' > 0.$$

Множество Ω является полосой пропускания кодирующего устройства. Из выражений (80) и (82) видно, что при $\bar{C} < \infty$ процесс $\zeta(t)$ обобщенный.

Во многих исследованиях помимо ограничения на среднюю мощность сигнала (10) вводят ограничение на полосу $(\bar{\omega}, \bar{\omega} + W)$ пропускания сигналов в канале. В нашем случае это можно свести к следующему ограничению. Спектральная плотность процесса на входе канала $\eta(t)$ отлична от нуля лишь на интервалах $(-W - \bar{\omega}, -\bar{\omega})$ и $(\bar{\omega}, \bar{\omega} + W)$.

При ограниченной полосе пропускания формулы (69), (80), (77) принимают вид

$$(84) \quad \eta(t) = \int_{-W-\bar{\omega}}^{-\bar{\omega}} e^{it\omega} a(\omega) \Phi_\varepsilon(d\omega) + \int_{\bar{\omega}}^{\bar{\omega}+W} e^{it\omega} a(\omega) \Phi_\varepsilon(d\omega),$$

$$(85) \quad \bar{C} = \frac{1}{2\pi} \int_{\bar{\omega}}^{\bar{\omega}+W} \log \max \left(\frac{\vartheta^2}{f_{\zeta\zeta}(\omega)}, 1 \right) d\omega,$$

$$(86) \quad 2 \int_{\bar{\omega}}^{\bar{\omega}+W} \max(\lambda \sqrt{(f_{\xi\xi}(\omega) f_{\zeta\zeta}(\omega))} - f_{\zeta\zeta}(\omega), 0) d\omega = P_c.$$

Для каналов с конечной полосой пропускания $(\bar{\omega}, \bar{\omega} + W)$ для выполнения (78) кроме (83) необходимо и достаточно следующего добавочного условия: мно-

142 жество Ω из (83) содержится в сумме интервалов $\Omega \subset (-\bar{\omega} - W, -\bar{\omega}) \cup (\bar{\omega}, \bar{\omega} + W)$, в частности, когда

$$f_{\xi\xi}(-\omega) = f_{\xi\xi}(\omega) = \begin{cases} a_{\xi} = \text{const} & \text{при } \omega \in (\bar{\omega}, \bar{\omega} + W), \\ 0 & \text{при других значениях } \omega \end{cases}$$

и

$$f_{\xi\xi}(-\omega) = f_{\xi\xi}(\omega) = a_{\xi}' = \text{const} \quad \text{при } \omega \in (\bar{\omega}, \bar{\omega} + W),$$

то выполнено (78) и оптимальные линейные методы кодирования сводятся к умножению процессов $\xi(t)$ и $\tilde{\eta}(t)$ на некоторые константы. В некоторых случаях, когда условия (83) не выполнены, мы можем уменьшить значения ε^2 и даже добиться выполнения (78) с помощью процедуры, называемой перестановкой спектра процесса $\xi(t)$ [20]. Суть этой процедуры мы рассмотрим сначала на одном частном случае.

Пусть гауссовские процессы $\xi(t)$ и $\eta(t)$ представляются в виде

$$\xi(t) = \int_{-\bar{\omega}-W}^{-\bar{\omega}} e^{it\omega} \Phi_{\xi}(d\omega) + \int_{\bar{\omega}}^{\bar{\omega}+W} e^{it\omega} \Phi_{\xi}(d\omega)$$

и

$$(87) \quad f_{\xi\xi}(-\omega) = f_{\xi\xi}(\omega) = \begin{cases} a_{\xi}' & \text{при } \omega \in (\bar{\omega}, \bar{\omega} + W/2), \\ a_{\xi}'' & \text{при } \omega \in (\bar{\omega} + W/2, \bar{\omega} + W), \end{cases} a_{\xi}' > a_{\xi}'' ,$$

$$(88) \quad f_{\xi\xi}(-\omega) = f_{\xi\xi}(\omega) = \begin{cases} a_{\xi}' & \text{при } \omega \in (\bar{\omega}, \bar{\omega} + W/2), \\ a_{\xi}'' & \text{при } \omega \in (\bar{\omega} + W/2, \bar{\omega} + W), \end{cases} a_{\xi}' > a_{\xi}'' .$$

Из (87) и (88) видно, что из $f_{\xi\xi}(\omega') \geq f_{\xi\xi}(\omega'')$ следует

$$f_{\xi\xi}(\omega') \geq f_{\xi\xi}(\omega'') ,$$

$$(89) \quad \omega', \omega'' \in (-\bar{\omega} - W, -\bar{\omega}) \cup (\bar{\omega}, \bar{\omega} + W) .$$

Процесс

$$(90) \quad \xi^*(t) = e^{itW/2} \int_{-\bar{\omega}-W}^{-\bar{\omega}-W/2} e^{it\omega} \Phi_{\xi}(d\omega) + e^{-itW/2} \int_{-\bar{\omega}-W/2}^{-\bar{\omega}} e^{it\omega} \Phi_{\xi}(d\omega) + e^{itW/2} \int_{\bar{\omega}}^{\bar{\omega}+W/2} e^{it\omega} \Phi_{\xi}(d\omega) + e^{-itW/2} \int_{\bar{\omega}+W/2}^{\bar{\omega}+W} e^{it\omega} \Phi_{\xi}(d\omega)$$

получается „перестановкой спектра“ из процесса $\xi(t)$. Очевидно

$$f_{\xi^*\xi^*}(-\omega) = f_{\xi^*\xi^*}(\omega) = \begin{cases} a_{\xi}'' & \text{при } \omega \in (\bar{\omega}, \bar{\omega} + W/2), \\ a_{\xi}' & \text{при } \omega \in (\bar{\omega} + W/2, \bar{\omega} + W) \end{cases}$$

и соотношения (89) переходят в следующие: из

$$f_{\xi\xi}(\omega') \geq f_{\xi\xi}(\omega'')$$

следует

$$(91) \quad f_{\xi^*\xi^*}(\omega') \leq f_{\xi^*\xi^*}(\omega'').$$

Для процесса $\xi^*(t)$ характерно, что в полосе $(\bar{\omega} - W/2, \bar{\omega} + W)$ где его интенсивность (т.е. $f_{\xi^*\xi^*}(\omega)$) больше, там интенсивность шума ($f_{\xi\xi}(\omega)$) меньше и наоборот.

Нетрудно убедиться, что оптимальное линейное кодирование и декодирование для $\xi^*(t)$ приводят к процессу $\tilde{\xi}^*(t)$ с среднеквадратичным отклонением $\varepsilon^2 = E(\xi^*(t) - \tilde{\xi}^*(t))^2$ меньшим, чем для $\xi(t)$, в частности, если $a_{\xi}'' = a_{\xi}' = 0$, то $\varepsilon^2 = 0$ и процесс $\tilde{\xi}^*(t)$ восстанавливается без искажений, если же $a_{\xi}''a_{\xi}' = a_{\xi}'a_{\xi}''$, то выполнено соотношение (78).

Рассмотрим теперь перестановку спектра процесса $\xi^*(t)$, заменяя в (90) ξ , ξ^* на $\tilde{\xi}^*$, $\tilde{\xi}$ и $e^{itW/2}$ на $e^{-itW/2}$, очевидно

$$E(\xi^*(t) - \tilde{\xi}^*(t))^2 = E(\xi(t) - \tilde{\xi}(t))^2.$$

Таким образом, сочетание перестановок спектра с оптимальным линейным кодированием и декодированием приводит к уменьшению среднеквадратичного отклонения воспроизводимого сообщения от сообщения на выходе источника.

Вообще говоря, процесс $\xi^*(t)$, получаемый в результате конечного числа преобразований (86) или являющийся пределом таких процессов в среднеквадратичном*, мы также будем называть процессом с перестановкой спектра $\xi(t)$.

Легко убедиться, что процесс $\xi^*(t)$, являющийся „перестановкой“ процесса $\xi(t)$, представляется в виде

$$(92) \quad \xi^*(t) = \int_{-\infty}^{\infty} e^{i\varphi(\omega)t} \Phi_{\xi}(d\omega).$$

Здесь $\varphi(\omega) = -\varphi(-\omega)$ — измеримая функция и при любых $\omega_1 < \omega_2$

$$(93) \quad \mu(\omega' : \omega_1 \leq \varphi(\omega') \leq \omega_2) = \omega_2 - \omega_1,$$

где $\mu(\cdot)$ — мера Лебега, и, наоборот, если процесс $\xi^*(t)$ допускает представление (92), то он является перестановкой спектра $\xi(t)$. Соотношение (93) выражает тот факт, что переход от $\xi(t)$ к $\xi^*(t)$ не меняет „ширины спектра“. Можно показать, что существует такая перестановка спектра процесса $\xi(t)$, что из $f_{\xi\xi}(\omega') \geq f_{\xi\xi}(\omega'')$ следует

$$(94) \quad f_{\xi^*\xi^*}(\omega') \leq f_{\xi^*\xi^*}(\omega'').$$

* Последовательность процессов $\alpha_1(t), \alpha_2(t), \dots$ сходится к процессу $\alpha(t)$ в среднеквадратичном, если $\lim_{n \rightarrow \infty} \alpha_n(t) = \alpha(t)$ т.е. $\lim_{t \rightarrow \infty} E(\alpha(t) - \alpha_n(t))^2 = 0$.

Легко видеть, что среднеквадратичное отклонение при оптимальном линейном кодировании и декодировании процесса $\xi^*(t)$ будет не больше, чем среднеквадратичное отклонение при любых других перестановках спектра $\xi(t)$, линейном кодировании и декодировании.

Отсюда вытекает, что последовательность операций: *перестановка спектра (94), оптимальное линейное кодирование и декодирование, „обратная“ перестановка спектра* дает наименьшее значение

$$\varepsilon^2 = E(\xi(t) - \tilde{\xi}(t))^2$$

по сравнению с любыми другими перестановками, линейном кодировании и декодировании.

Однако, следует отметить, что перестановка спектра и линейное кодирование не приводит к уменьшению ε^2 в случае, когда

$$E \xi^2(t) = 2 \int_0^{\infty} f_{\xi\xi}(\omega) d\omega = P_{\xi},$$

$$f_{\xi\xi}(-\omega) = f_{\xi\xi}(\omega) = \begin{cases} a_{\xi} = \text{const} & \text{при } \omega \in (0, W_1), \\ 0 & \text{при } \omega \notin (0, W_1); \omega, W > 0; \end{cases}$$

а полоса пропускания канала $(0, W_2)$ не совпадает с полосой $(0, W_1)$ (т.е. $W_1 \neq W_2$) и $f_{\xi\xi}(\omega) = a_{\xi} = \text{const}$. Построение оптимальных или сколь угодно близких к оптимальным (т.е. таких, что разность $\bar{C} - \bar{H}_{\varepsilon}$ сколь угодно мала) эффективных методов кодирования и декодирования является здесь открытой проблемой.

Для решения этой проблемы достаточно решить следующую задачу (называемую иногда задачей сокращения спектра).

Пусть $\xi(t)$ и $\zeta(t)$ гауссовские процессы с

$$f_{\xi\xi}(-\omega) = f_{\xi\xi}(\omega) = \begin{cases} a_{\xi} \neq 0 & \text{при } \omega \in (0, W_1), \\ 0 & \text{при } \omega \notin (0, W_1); W_1, \omega > 0; \end{cases}$$

$$f_{\zeta\zeta}(-\omega) = f_{\zeta\zeta}(\omega) = \begin{cases} a_{\zeta} \neq 0 & \text{при } \omega \in (0, W_2), \\ 0 & \text{при } \omega \notin (0, W_2); W_2, \omega > 0; \end{cases}$$

$$W_1 \neq W_2.$$

При любом $\delta > 0$, построить функционалы $\varphi(\cdot)$ и $\psi(\cdot)$, определенные на пространстве $L^2(-T, T)$ вещественных функций с суммированием квадратом, заданных на интервале $(-T, T)$ (T зависит от δ) такие, что

$$E(\xi(t) - \tilde{\xi}(t))^2 \leq \varepsilon^2 + \delta;$$

$$\frac{1}{2\pi} W_1 \log \frac{a_\xi W_1}{e^2} = \frac{1}{2\pi} W_2 \log \left(1 + \frac{a_\xi}{a_\zeta} \right)$$

(левая часть последнего равенства равна ε -энтропии \bar{H}_ε источника определяемого процессом $\xi(t)$, а правая часть — пропускной способности канала с $P_\varepsilon = 2a_\xi W_2$, $f_{\xi\xi}(\omega) = a_\zeta$ и полосой пропускания $(0, W_2)$). Случайная величина $\bar{\xi}(t)$ удовлетворяет цепочке равенств

$$\bar{\xi}(t) = \psi_i(\bar{\eta}_{i-T}^{t+T}), \quad \bar{\eta}(t) = \eta(t) + \zeta(t), \quad \eta(t) = \varphi_i(\xi_{i-T}^{t+T}).$$

Здесь

$$\varphi_i(f(\tau)) = \varphi(f(\tau - t)), \quad \psi_i(f(\tau)) = \psi(f(\tau - t)),$$

где $f(\tau)$ — функция с суммированным квадратом, заданная на интервале $(t - T, t + T)$. Значения случайных величин

$$\xi_{i-T}^{t+T} = \{\xi(\tau); t - T \leq \tau \leq t + T\}$$

— функции заданные на интервале $(t - T, t + T)$.

Нахождение простых методов построения функций φ и ψ в сочетании с перестановкой спектра и линейным кодированием дало бы возможность для произвольных гауссовских источников и каналов построить простые методы кодирования и декодирования, сколь угодно близкие к оптимальным.

(Поступило 9 июня 1965 г.)

ЛИТЕРАТУРА

- [1] Shannon C.: A mathematical theory of communication. Bell. System Techn. J. 27 (1948), 3, 379—423; 27 (1948), 4, 623—656. (Русск. пер. Шеннон К.: Математическая теория связи. Сб. Шеннон К.: Работы по теории информации и кибернетике. Изд. ИЛ., М. 1963, 243—332.)
- [2] Колмогоров А. Н.: Теория передачи информации. Сб. Сессия АН СССР по науч. пробл. автом. пр-ва. 1956. Пленарное заседание. Изд. АН СССР 1957, 66—99. Дискуссия 148—161.
- [3] Добрушин Р. Л.: Математические вопросы шенноновской теории оптимального кодирования информации. Сб. Проблемы передачи информации. Изд. АН СССР, М. 10 (1961), 63—107.
- [4] Добрушин Р. Л.: Общая формулировка основной теоремы Шеннона в теории информации. Усп. мат. наук 14 (1959), 6, 3—104.
- [5] Shannon C.: Certain results in coding theory for noisy channels. Information and Control 1 (1957), 6—25. (Русск. пер. Шеннон К.: Некоторые результаты теории кодирования для каналов с шумами. Сб. Шеннон К.: Работы по теории информации и кибернетике. Изд. ИЛ., М. 1963, 509—531.)
- [6] Пинскер М. С.: Информация и информационная устойчивость случайных величин и процессов. Изд. АН СССР, М. 1960.
- [7] Пинскер М. С.: Источники сообщений. Сб. Проблемы передачи информации. Изд. АН СССР, М. 14 (1963), 5—20.

- [8] Пинскер М. С.: Гауссовские источники. Сб. Проблемы передачи информации. Изд. АН СССР, М. 14 (1963), 50—100.
- [9] Fano R. M.: *Transmission of information*. MIT Press and J. Wiley, New York - London 1961.
- [10] Wozencraft J. M., Reiffen B.: *Sequential decoding*. MIT Press and J. Wiley, New York — London 1961. (Русск. пер. в книге Возенкрафт Дж., Райффен Б.: Последовательное декодирование. ИЛ, 1963.)
- [11] Peterson W.: *Error-correcting codes*. MIT Press — J. Wiley, New York — London 1961. (Русск. пер. Питерсон У.: Коды исправляющие ошибки. Изд. Мир, 1964.)
- [12] Ziv J.: Coding and decoding for time-discrete amplitude continuous memoryless channels. *IRE Trans. Inform. Theory* 8 (September 1962).
- [13] Ziv J.: Successive decoding scheme for memoryless channels. *IEEE Trans. Inform. Theory* 9 (1963), 2, 97—105.
- [14] Fano R. M.: A heuristic discussion of probabilistic decoding. *IEEE Trans. Inform. Theory* 9 (1963), 2, 64—74. (Русск. пер. Фано Р. М.: Эвристическое обсуждение вероятностного декодирования. Сб. Теория кодирования. Изд. МИР, М. 1964, 166—198.)
- [15] Callager R. C.: Low density parity-check codes. *IRE Trans. Inform. Theory* 8 (1962), 1, 21—28. (Русск. пер. Галлагер Р. Г.: Коды с малой плотностью проверок на четность, Сб. Теория кодирования. Изд. МИР, М. 1964, 139—166.)
- [16] Добрушин Р. Л.: По поводу последовательного декодирования методом Возенкрафта-Рейффена. Сб. Проблемы кибернетики 12 (1964), 114—123.
- [17] Пинскер М. С.: О сложности декодирования. Проблемы передачи информации 1 (1965), 115—118.
- [18] Цыбаков Б. С.: Шенноновская схема для гауссовского сообщения с равномерным спектром и флуктуационным шумом. *Радиотехн. и электроника* 6 (1964), 4, 649.
- [19] Овсевич И. А. и Пинскер М. С.: Оптимальное линейное предсказание и корректирование. Изв. АН СССР — Техническая кибернетика (1963), 5, 54—60.
- [20] Овсевич И. А. и Пинскер М. С.: Согласование источника сообщений с каналом методом перестановки спектров. Изв. АН СССР — Техническая кибернетика (1965), 2, 81—86.
- [21] Grenander U., Szegö G.: *Toeplitz forms and their application*. University of California Press, Berkeley and Los Angeles 1958. (Русск. пер. Гренандер У., Сеге Г.: Теплицевы формы и их приложения. Изд. ИЛ, М. 1961.)

Některé matematické problémy teorie přenosu informace

M. S. PINSKER

Článek je přehledem pravděpodobnostních hledisek některých směrů teorie přenosu informace.

Pro širokou třídu zdrojů a kanálů jsou vyloženy jednotlivé úplné výsledky vycházející ze Shannonových vět. Pro libovolný Gaussův kanál jsou uvedeny horní odhady pravděpodobnosti chyby při optimálním kódování a dekódování.

Dále následuje diskuse o problému složitosti kódování a dekódování pro zdroje a kanály.

Dokazuje se, že se pro binární symetrický kanál dá sestavit takové skupinové kódování a dekódování, že pro libovolnou rychlost přenosu, menší než je kapacita kanálu, bude počet aritmetických operací omezen nějakou konstantou nezávisající na pravděpodobnosti chyby. Pro Gaussovy zdroje a kanály jsou uvedeny nutné a postačující podmínky, aby lineární předskreslení a náprava související s permutací spektra byly nejlepší ze všech možných metod kódování a dekódování, a tedy byly optimální v Shannonově smyslu. Nakonec je probrán problém konstrukce optimálních metod kódování a dekódování pro libovolné Gaussovy zdroje a kanály.

Марк Семёнович Пинскер, Институт проблем передачи информации АН СССР, Авиамоторная ул. 8а, корп. 2, Москва Е-24, СССР.